



# Implementierung des Genom-Alignments auf modernen hochparallelen Plattformen

## Diplomverteidigung

**Oliver Knodel - [Oliver.Knodel@mailbox.tu-dresden.de](mailto:Oliver.Knodel@mailbox.tu-dresden.de)**

Dresden, 28.06.2011

# 01 Einleitung

## Problemstellung

- Eine Aufgabe in der Molekularbiologie besteht darin, neu gewonnene Nukleotidsequenzen in Datenbanken bekannter Sequenzen zu suchen.
- Kostengünstige und hochparallele Sequenzierungsverfahren haben in den letzten Jahren die Anforderungen an die Suche verändert.
- Eine effiziente und kostengünstige Lösung des Problems auf einer parallelen Plattform ist notwendig und erfordert:
  - Eine Analyse der bisherigen Lösungsansätze,
  - Untersuchungen zur Parallelisierbarkeit auf FPGA und GPU,
  - Implementierung unter Berücksichtigung der typischer Nutzer,
  - Realisierung einer leistungsfähigen Datenkommunikation (FPGA) und
  - Funktionsnachweis und Vergleich mit leistungsfähigen Programmen.

01 Einleitung

02 Grundlagen

Klassisches Alignment-Problem

Short-Read Mapping Problem

03 Untersuchungen zur Parallelisierbarkeit

04 Implementierung

FPGA

GPU

05 Ergebnisse

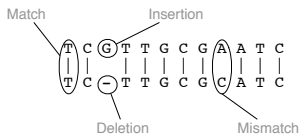
06 Zusammenfassung & Ausblick

## 02 Grundlagen

### Klassisches Alignment-Problem

Alignment-Algorithmen passen zwei Sequenzen aneinander an und liefern einen Wert (*Score*), der etwas über ihre Ähnlichkeit aussagt.

- Nukleotidsequenzen bestehen aus den Zeichen  $\Sigma = \{A, G, T(\equiv U), C\}$ .
- Um einen hohen Score zu erreichen, werden *Mismatches* und *Gaps* eingefügt.
- Wichtige Anwendung ist die inexakte Suche in Datenbanken, um Eigenschaften der Sequenzen zu ermitteln:
  - Die durch das Sanger-Verfahren generierten Sequenzen haben eine Länge von 800 bis 1.000 Basenpaaren.
  - Ergebnis einer Datenbanksuche ist die Position, an der ein bestimmter Schwellwert für den Score überschritten wird.



## 02 Grundlagen

### Smith & Waterman-Algorithmus

- Algorithmus zum lokalen Alignment.
- Exaktes Verfahren (liefert immer optimales Alignment).
- Matrixfelder werden in Abhängigkeit voneinander berechnet.
- Zeit- und Speicherkomplexität von  $O(m \cdot n)$ .

$$M(i, j) = \max \left\{ \begin{array}{l} \underbrace{M(i-1, j) + g}_{\text{Insertion}} \\ \underbrace{M(i, j-1) + g}_{\text{Deletion}} \\ \underbrace{M(i-1, j-1) + p(s_i, t_j)}_{\text{Match / Mismatch}} \\ 0 \end{array} \right.$$

		Datenbank						
		A	G	A	T	A	C	
Read		0	0	0	0	0	0	0
	A	0	(1,1)	(0,0)	(1,3)	(0,0)	(1,5)	(0,0)
	G	0	(0,0)	(2,1)	(0,0)	(1,3)	(0,0)	(1,5)
	A	0	(1,1)	(0,1)	(3,1)	(2,1)	(2,3)	(0,3)
	C	0	(0,0)	(0,1)	(2,1)	(3,1)	(1,1)	(3,3)

(Score, Position)

## 02 Grundlagen

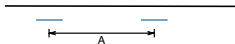
### Basic Local Alignment Search Tool

Heuristisches Verfahren zur Datenbanksuche für lange Sequenzen (bis zu 1.000 Basenpaare) bestehend aus drei Teilschritten:

1. Exakter Treffer der Länge  $w$  wird gesucht.



2. Suche eines zweiten Hits mit maximalem Abstandes  $A$ .



3. Hits werden mit Matches, Mismatches und Gaps ausgedehnt.



## 02 Grundlagen

### Short-Read Mapping Problem [TS09]

- Mit der Sanger-Sequenzierung wurden wenige lange Sequenzen geliefert.
- Technologische Weiterentwicklungen haben zu automatisierten hochparallelen Sequenzierern geführt (Next-Generation Sequencing) [RF09]:
  - Sequenzen (*Reads*) haben nur eine Länge von wenigen Basenpaaren.
  - Ein Durchlauf erzeugt mehrere Millionen Reads in kurzer Zeit.
- Score verliert an Bedeutung und wird auf Mismatches oder *Hamming-Distanz* reduziert.

Methode	Readlänge (bp)	Reads pro Durchlauf	Durchlaufzeit
Sanger-Verfahren	800	1	10 Stunden
ABI SOLiD	~ 50	85.000.000	6 Tage
Helicos Heliscope	30 - 38	800.000.000	8 Tage
Illumina Genome Analyzer	36 - 175	40.000.000	3 - 6 Tage

⇒ **Neue Anforderungen an die Programme.**

## 02 Grundlagen

### Short-Read Mapper

Programme, die an die Anforderungen kurzer Reads angepasst sind und große Datenmengen verarbeiten können, werden als *Short-Read Mapper* bezeichnet.

1. **Burrows-Wheeler Transformation** - Bowtie und SOAP2
  - Suche der Reads mit dem FM-Index Algorithmus [FMMN04].
  - Hohe Geschwindigkeit, da nie die gesamte Datenbank durchsucht wird.
  - Einfügen von maximal drei Mismatches über Backtracking.
2. **Spaced-Seed Indexing** - Maq und PASS
  - Unterteilung der Reads in Bereiche fester Länge.
  - Suche der kurzen Bereiche in der Datenbank.
3. **Q-Gram Counting** - RazerS
  - Berechnung der Anzahl kurzer Teilsequenzen für einen Treffer über das Q-Gram Lemma [BCF<sup>+</sup>99].
  - Durch Länge der Teilsequenzen von wenigen Basenpaaren ist eine schnelle Suche mit Mismatches und Gaps möglich.

## 03 Untersuchungen zur Parallelisierbarkeit

### 1. **Modifizierter Smith & Waterman-Algorithmus**

- Exakte Ergebnisse und einfache Anpassung an das Short-Read Mapping.
- Einfache parallele Berechnung der Matrixelemente und gleichmäßige Datenbankzugriffe.

### 2. **Spaced Seed Indexing**

- Die Suche mit Seeds fester Größe lässt sich auf dem FPGA leicht realisieren.

### 3. **Burrows-Wheeler Transformation**

- Speicherzugriffe in der Datenbank nicht vorhersagbar.
- Ein Zugriff mehrerer Einheiten auf einen Speicher wird zum Engpass.

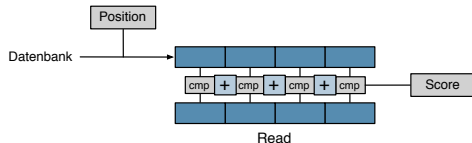
### 4. **Q-Gram Counting**

- Umfangreiche Nachbearbeitung der markierten Positionen auf dem Host-System nötig.
- Parallelisierung möglich, aber komplexe Umsetzung in Hardware.

## 04 Implementierung - FPGA

### Algorithmus

- Das Short-Read Mapping erfordert aufgrund der kurzen Sequenzen keine Gaps [TS09].
- Mismatches sind aufgrund von Mutation oder Sequenzierungsfehlern notwendig.

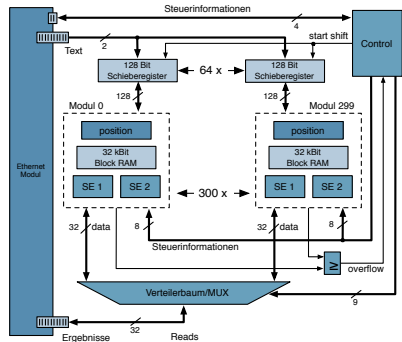


⇒ **Problem entspricht dem naiven Suchalgorithmus mit Mismatches.**

# 04 Implementierung - FPGA

## Gesamtsystem

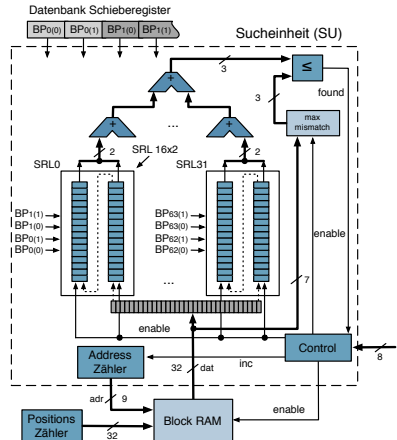
- 300 Module mit je zwei Einheiten zur Suche und einem BlockRAM (Xilinx Virtex-6 XC6VLX240T).
- Insgesamt  $300 \times 2 = 600$  Sucheinheiten.
- Jede Einheit bearbeitet einen Read mit 64 Basenpaaren.
- Bei einer Taktrate von 200 MHz wird eine Leistung von 120 Giga Vergleiche/s erreicht.



# 04 Implementierung - FPGA

## Sucheinheit

- Jeder SRL  $16 \times 2$  [Xil10] enthält die Anzahl der Mismatches mit den beiden adressierenden Basenpaaren der Datenbank.
- 32 SRLs werden parallel bitweise geladen.
- Baumförmiger sättigender 3-Bit Zähler (7 Mismatches).
- Schreiben der Position, wenn Mismatch-Schwellwert unterschritten wird.



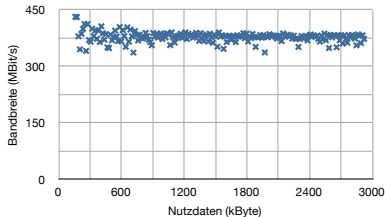
## 04 Implementierung - FPGA

### Datenverbindung

Verbindung zwischen Host und FPGA realisiert über Gigabit-Ethernet auf Ebene der MAC-Adressen (Sicherungsschicht - Layer 2) [BH01].

- Steuerung des FPGAs mit kurzen Paketen.
- Übertragen der Reads und Ergebnisse.
- Streaming der Datenbank über dynamische Flusskontrolle ( $\sim 400$  MBit/s).
- Erkennen verlorener Pakete.

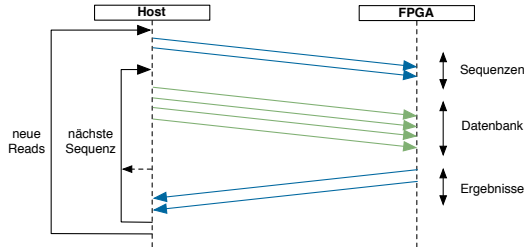
⇒ Teilweise Realisierung eines TCP-ähnlichen Protokolls (Transportschicht - Layer 4).



## 04 Implementierung - FPGA

### Host-Software I - Programmablauf

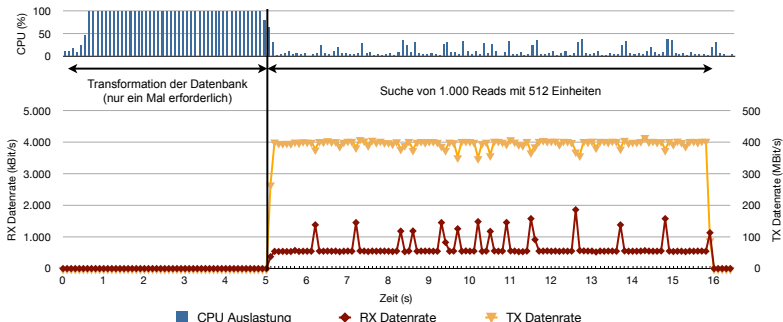
- Transformation der Datenbank von ASCII-Zeichen ins Binäre
- Ablaufsteuerung:
  - Transformieren und Übertragen der Reads,
  - Übertragen der Datenbank,
  - Einsammeln und Aufbereiten der Ergebnisse.



# 04 Implementierung - FPGA

## Host-Software II - Nutzbarkeit

- Ausführung des Programms über Kommandozeile.
- Unterstützung der gebräuchlichen Eingabeformate (FASTA, FASTQ).
- Optionale Ausgabe im SAM-Format [LHW+09].



# 04 Implementierung - GPU

## Algorithmus I

- Felder der Smith & Waterman-Matrix können diagonal berechnet werden.
- Vereinfachungen gegenüber dem vollständigen Algorithmus:
  - Alle Scores über festgelegtem Schwellwert werden gesichert.
  - Um Position ohne Backtracking zu berechnen, ist eine zweite Matrix notwendig.

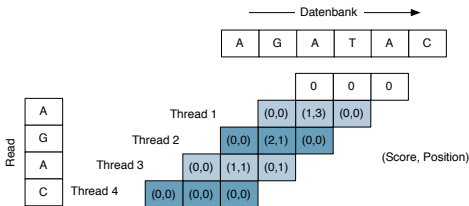
		Datenbank												
		N	N	N	A	G	A	T	A	C	N	N	N	
Read		0	0	0	0	0	0	0	0	0	0	0	0	
	A	0	(0,0)	(0,0)	(0,0)	(1,1)	(0,0)	(1,3)	(0,0)	(1,5)	(0,0)	X	X	X
	G	0	(0,0)	(0,0)	(0,0)	(0,0)	(2,1)	(0,0)	(1,3)	(0,0)	(1,5)	X	X	X
	A	0	(0,0)	(0,0)	(0,0)	(1,1)	(0,1)	(3,1)	(2,1)	(2,3)	(0,3)	X	X	X
	C	0	(0,0)	(0,0)	(0,0)	(0,0)	0,1	(2,1)	(3,1)	(1,1)	(3,3)	X	X	X

(Score, Position)

# 04 Implementierung - GPU

## Algorithmus II

- Nur eine 3 Spalten breite Diagonale muss im Speicher gehalten werden.
- Werden keine Gaps benötigt, sind weitere Vereinfachungen möglich:
  - Positionsmatrix nicht mehr notwendig.
  - Keine Berechnungen des horizontalen- und vertikalen Gapscores erforderlich.



## 05 Ergebnisse

### **Laufzeit und Qualität**

Programm	Datenbank- Transformation (h:min:sec)	Reads: 100.000 × 38 bp Maximal 2 Mismatches			Reads: 100.000 × 50 bp Maximal 3 Mismatches		
		Laufzeit (h:min:sec)	Mapped (%)	Positionen	Laufzeit (h:min:sec)	Mapped (%)	Positionen
ssearch	—	305:23:00	100	—	333:20:00	100	—
Maq	00:00:08	00:03:26	100	100.000	00:11:03	76	76.874
SOAP2	00:04:21	00:00:12	100	476.991	00:00:16	76	163.913
PASS	—	00:03:32	99	601.683	00:04:32	99	455.862
RazerS	—	00:03:38	100	707.067	00:04:12	100	552.573
Bowtie	00:07:48	00:00:57	85	1.967.427	00:03:45	77	1.188.046
FPGA	00:00:05	00:03:46	100	5.475.284	00:03:41	100	2.306.253
GPU	—	43:39:00	100	5.475.284	47:46:00	100	2.306.253

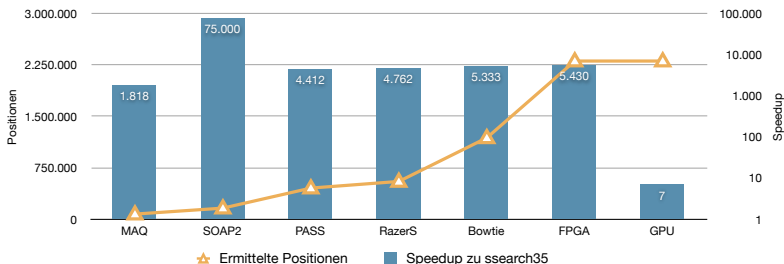
Datenbank: Homo sapiens chromosome 1 (222.388.987 bp)

Reads: Mismatches in diskreter Gleichverteilung

Testsysteme: Intel Core 2 Duo 2,66 GHz, 3,8 GByte - Nvidia GeForce GTX 480 - Xilinx Virtex-6 XC6VLX240T

## 05 Ergebnisse

### Speedup zu ssearch und Ergebnisqualität



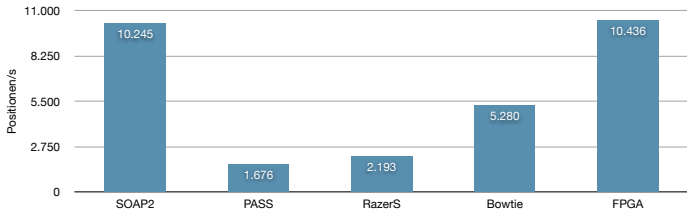
Datenbank: Homo sapiens chromosome 1 (222.388.987 bp)

Reads: 100.000 mit 50 bp und 0-3 mismatches in diskreter Gleichverteilung

Testsysteme: Intel Core 2 Duo 2,66 GHz, 3,8 GByte - Nvidia GeForce GTX 480 - Xilinx Virtex-6 XC6VLX240T

## 05 Ergebnisse

### Performance



Datenbank: Homo sapiens chromosome 1 (222.388.987 bp)  
Reads: 100.000 mit 50 bp und 0-3 mismatches in diskreter Gleichverteilung  
Testsysteme: Intel Core 2 Duo 2,66 GHz, 3,8 GByte - Nvidia GeForce GTX 480 - Xilinx Virtex-6 XC6VLX240T

## 06 Zusammenfassung und Ausblick

- Zusammenfassung:
  - Aufgrund der Weiterentwicklungen in den Sequenzierungsverfahren sind neue Programme erforderlich.
  - Ein naiver Suchalgorithmus kann einfach auf parallele Plattformen übertragen werden.
  - Die FPGA-Implementierung erreicht ähnlich hohe Geschwindigkeit wie heuristische leistungsfähige Programme, der GPU-Ansatz ist deutlich langsamer.
  - Aufgrund der geringen Auslastung des Host-Systems ist eine Integration in ein bestehendes System möglich.
- Ausblick:
  - Weitere Optimierung der FPGA-Implementierung.
  - Direkte Anpassung der Hardware an die Länge der Reads.
  - Für längere Reads Erweiterung auf Gaps durch vollständigen Smith & Waterman-Algorithmus oder Q-Gram Counting.

## 07 Quellen I



BURKHARDT, S. ; CRAUSER, A. ; FERRAGINA, P. ; LENHOF, H.P. ; RIVALS, E. ; VINGRON, M.:

q-gram based database searching using a suffix array (QUASAR).

In: *Proceedings of the third annual international conference on Computational molecular biology ACM*, 1999, S. 77–83



BADACH, A. ; HOFFMANN, E.:

*Technik der IP-Netze.*

Hanser, 2001



FERRAGINA, P. ; MANZINI, G. ; M

ÄKINEN, V. ; NAVARRO, G.:

An alphabet-friendly FM-index.

In: *String Processing and Information Retrieval Springer*, 2004, S. 228–228



LI, H. ; HANDSAKER, B. ; WYSOKER, A. ; FENNELL, T. ; RUAN, J. ; HOMER, N. ; MARTH, G. ; ABECASIS, G. ; DURBIN, R.:

The sequence alignment/map format and SAMtools.

In: *Bioinformatics* 25 (2009), Nr. 16, S. 2078

## 07 Quellen II



REIS-FILHO, J.:

Next-generation sequencing.

In: *Breast Cancer Research* 11 (2009), Nr. Suppl 3, S. S12



TRAPNELL, C. ; SALZBERG, SL:

How to map billions of short reads onto genomes.

In: *Nature biotechnology* 27 (2009), Nr. 5, S. 455



XILINX:

*Virtex-6 Libraries Guide for HDL Designs.*

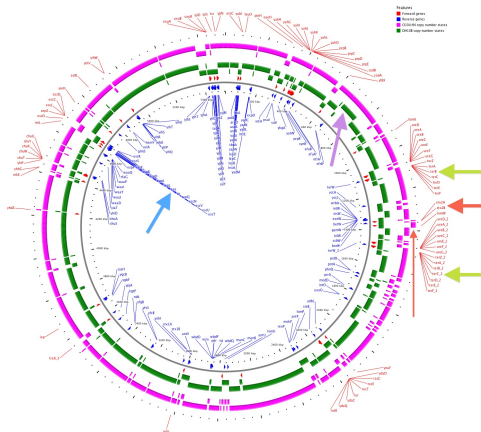
[http://www.xilinx.com/support/documentation/sw\\_manuals/xilinx12\\_3/virtex6\\_hdl.pdf](http://www.xilinx.com/support/documentation/sw_manuals/xilinx12_3/virtex6_hdl.pdf), September 2010

## 08 Anhang - Grundlagen

### Next-Generation Sequencing - Beispiel: EHEC

- Sequenzierung mit Geräten von Ion Torrent und Illumina.
- Ergebnis: Hybrid-Klon bekannter Stämme.

<https://github.com/ehec-outbreak-crowdsourced/>



*Escherichia coli* O157:H7 EDL933, complete genome. - 1..5528445

## 08 Anhang - Grundlagen

### Short Read Mapper - Bowtie

Gezielte Suche in Datenbanken mit Hilfe der Burrows-Wheeler-Transformation.

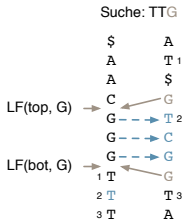
- Hohe Geschwindigkeit, da nie die komplette Datenbank durchsucht wird.
- Ausgelegt für Reads von 30 - 100 bp.
- Einfügen von maximal 3 Mismatches über *Backtracking* (keine Gaps).

T = ATTGCGGTAS

```

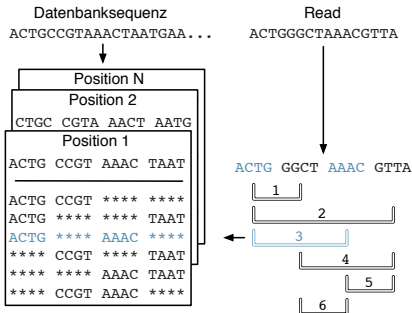
$ATTGCGGTA
A$ATTGCCGT
ATTGCGGTAS → Index = 3
CGGTA$ATTG
GCGGTA$ATT
GGTA$ATTGC
GTA$ATTGCG
TA$ATTGCGG
TGC GGTA$AT
TTGCGGTA$A
  
```

BWT(T) = AT\$GTCGGTA



# 08 Anhang - Grundlagen

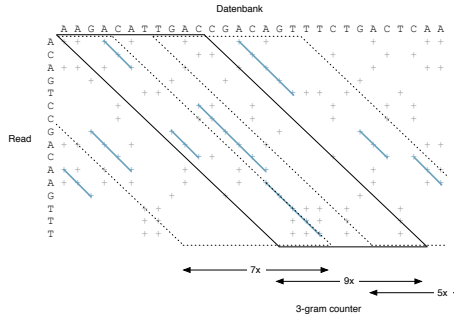
## Short Read Mapper - Maq



# 08 Anhang - Grundlagen

## Short Read Mapper - RazerS

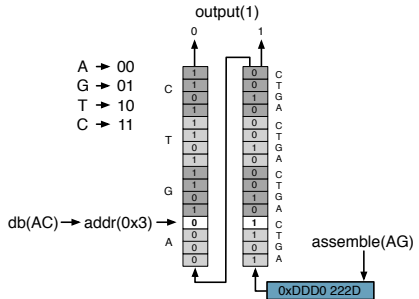
$$t = n + 1 - (k + 1) \cdot q \quad (1)$$



## 08 Anhang - FPGA

### Lesen der Reads

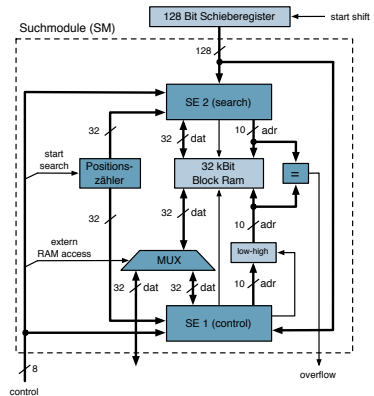
- Ein SRL  $16 \times 2$  besteht aus zwei verketteten LUTs mit je sechs Eingängen.
- Kodierung der Datenbank Basenpaare adressiert Speicherstelle.
- Speicherstelle enthält Anzahl der Mismatches mit zwei Read Basenpaaren.
- SRLKodierung der Reads per Software berechnet.



# 08 Anhang - FPGA

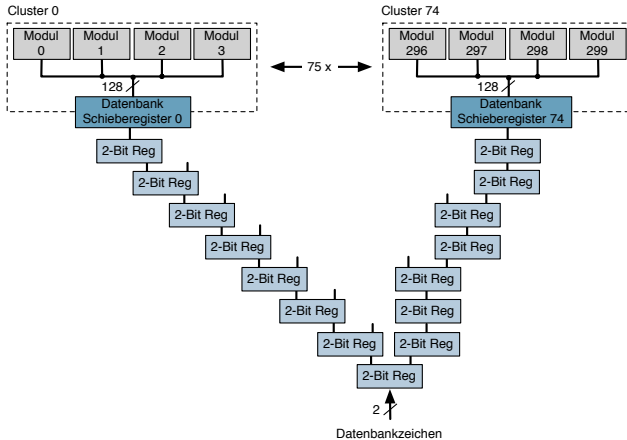
## Sucheinheit

- Einheiten schreiben konfliktfrei durch eigenes Interface in den Block RAM.
- Speichergröße wird dynamisch zwischen den beiden Reads verteilt.
- Zwei Einheiten können zusammenschaltet werden und Read mit 128 bp verarbeiten.



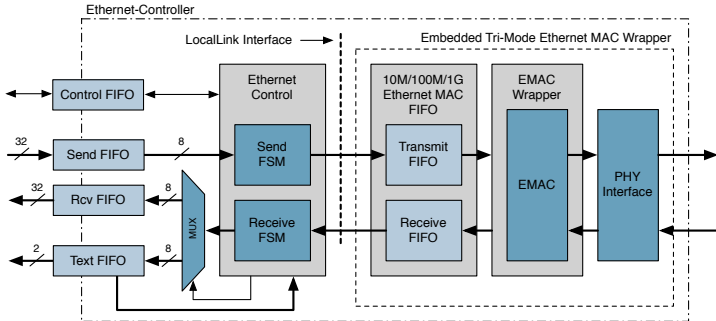
# 08 Anhang

## Verteilung der Einheiten



# 08 Anhang

## Aufbau des Ethernet-Modules



## 08 Anhang - FPGA

### Hardwareressourcen

Modul	Suchmodul	Ethernet	600 Einheiten
Register	165	1.161	76.768 (25 %)
LUTs	405	964	127.921 (85 %)
Slices	162	400	35.362 (93 %)
Unbenutztes Flip Flop	61 %	24 %	47 %
Unbenutzte LUT	3 %	22 %	3 %
Benutzte LUT-FF Paare	35 %	53 %	48 %
Block-RAM	1	20	320 (76 %)
Maximale Taktrate			200 MHz
Vergleiche/s 64 bp			120 Giga
Erforderliche Datenrate			400 MBit/s

- Auf einem Virtex-5 lassen sich 100 Einheiten bei einer Taktrate von 100 MHz realisieren, was einer Leistung von 10 Giga Vergleiche/s entspricht.

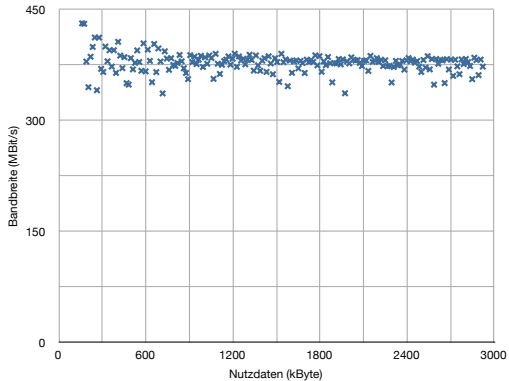
## 08 Anhang - FPGA

### Host-Software III - Kommandozeilenargumente

Parameter	Beschreibung
<code>-query &lt;filename&gt;</code>	Datei mit Reads im FASTA- oder FASTQ-Format
<code>-database &lt;filename&gt;</code>	Datenbank im FASTA-Format
<code>-bindb &lt;filename&gt;</code>	Bereits transformierte binäre Datenbank
<code>-output &lt;filename&gt;</code>	Ausgabe in Datei
<code>-transform</code>	Nur Transformation der ASCII-Datenbank
<code>-mismatch [int]</code>	Anzahl erlaubter Mismatches
<code>-positions</code>	Auflistung der Positionen der Reads
<code>-status</code>	Statusinformationen ausgeben
<code>-help</code>	Hilfetext anzeigen

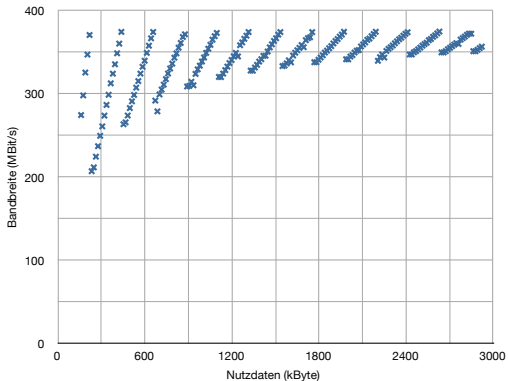
## 08 Anhang

### Bandbreite - Virtex-6 (dynamische Flusskontrolle)



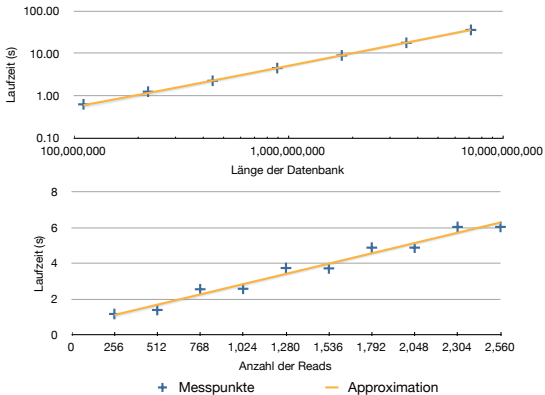
## 08 Anhang

### Bandbreite - Virtex 6 (statische Flusskontrolle)



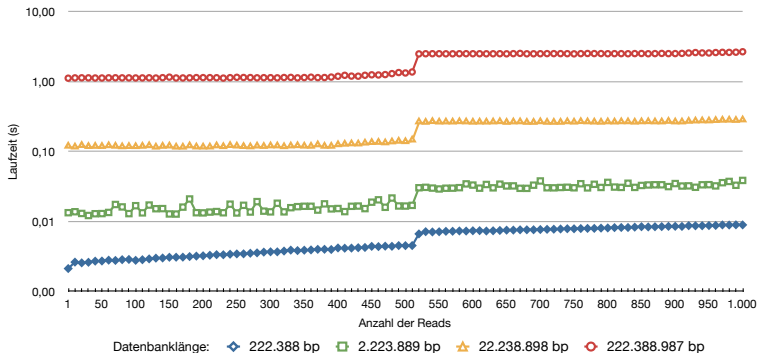
## 08 Anhang - FPGA

### Skalierung I



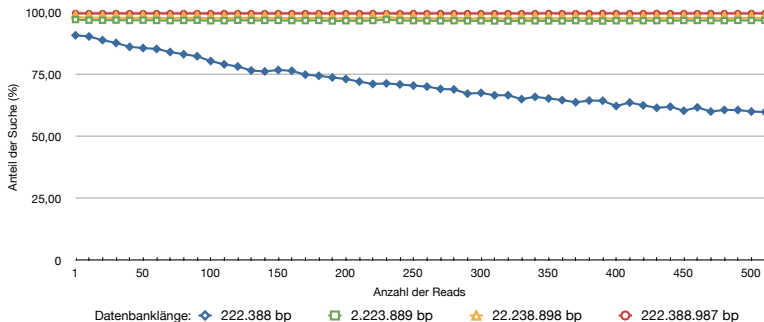
# 08 Anhang - FPGA

## Skalierung II - Anzahl Reads



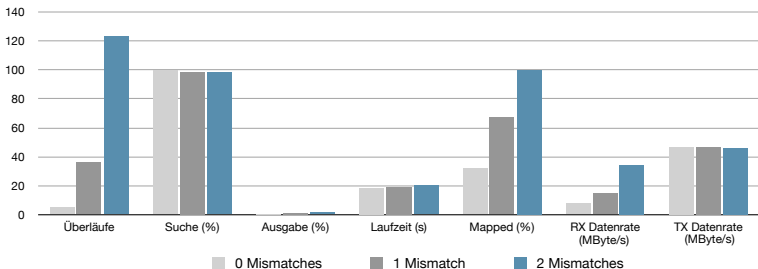
## 08 Anhang - FPGA

### Skalierung III - Anteil der Suche



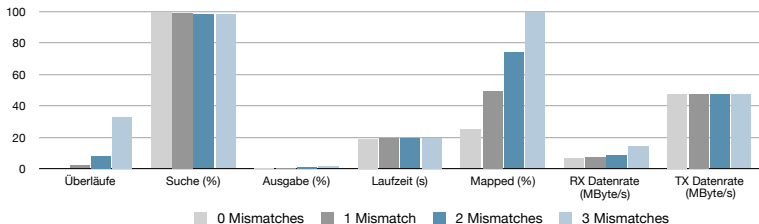
# 08 Anhang - FPGA

## Verhalten bei Überläufen I - Kurze Reads



## 08 Anhang - FPGA

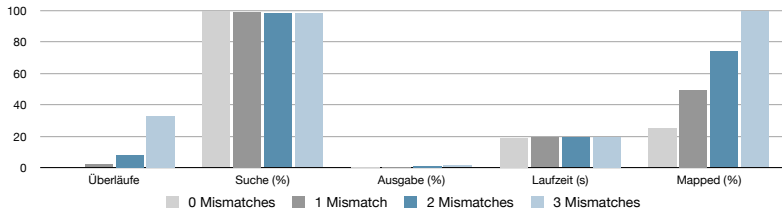
### Verhalten bei Überläufen II - Lange Reads



## 08 Anhang - FPGA

### Identifikation von Engpässen auf dem FPGA

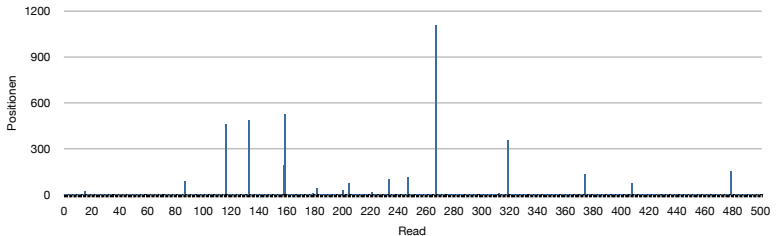
- Anteil der Laufzeit für Transformation, Übertragung und Einsammeln der Ergebnisse liegt bei 2 - 3 %.
- Erhöhung der Laufzeit durch Reaktion auf Überläufe ebenfalls gering.
- Starke Auswirkungen nur bei Datenbanken mit weniger als einer Million Basenpaaren.



Datenbank: Homo sapiens chromosome 1 (222.388.987 bp)  
 Reads: 100.000 mit 50 bp und 0-3 mismatches in diskreter Gleichverteilung

## 08 Anhang - FPGA

### Verteilung der Reads

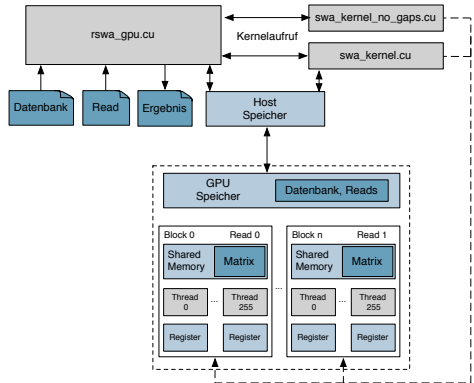


# 08 Implementierung - GPU

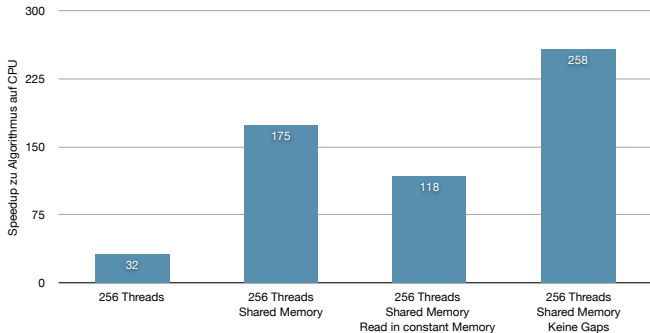
## CUDA - Programm

Verteilung der Daten:

- Datenbank im Grafikspeicher.
- Matrizen im gemeinsamen Speicher der Multiprozessoren.
- Reads zur Laufzeit in internen Registern der Threads.



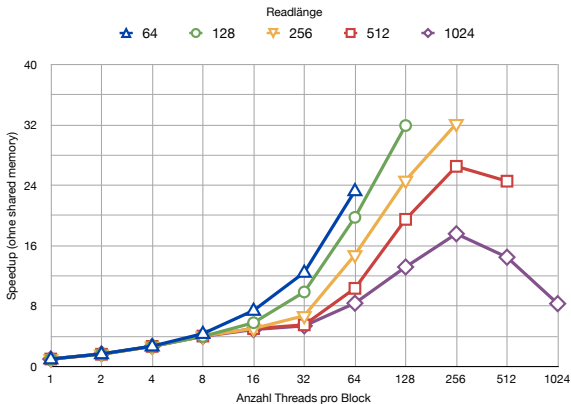
## 08 Anhang - GPU Optimierung



⇒ Optimale Laufzeit wird mit 256 Threads und Matrizen im Shared Memory erzielt.

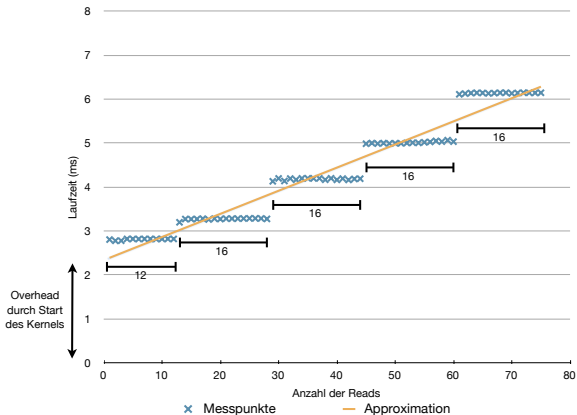
# 08 Anhang - GPU

## Speedup für verschiedene Blockgrößen



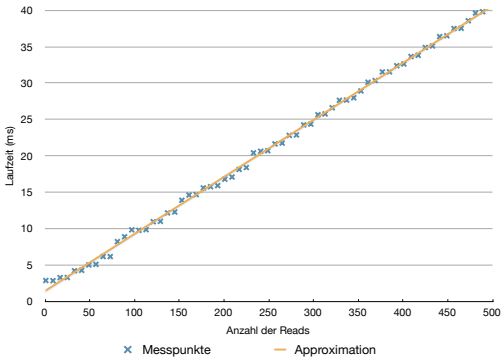
## 08 Anhang - GPU

### Skalierung in Abhängigkeit der Anzahl der Reads I



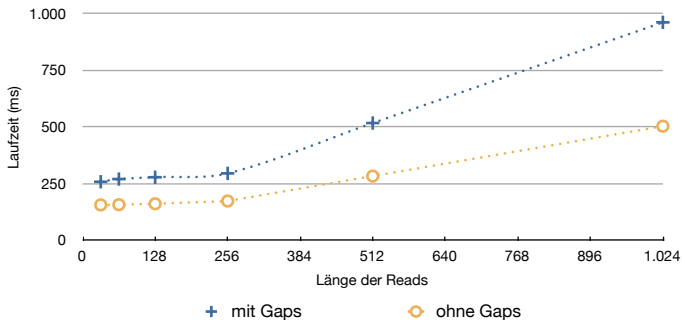
## 08 Anhang - GPU

### Skalierung in Abhängigkeit der Anzahl der Reads II



## 08 Anhang - GPU

### Skalierung bei unterschiedlicher Länge der Reads



# 08 Anhang - GPU

## Leistung und Bandbreite

- Zeit zum Übertragen der Datenbank gering im Vergleich zur Suche.
- Algorithmus skaliert mit Datenbankgröße und Anzahl der Reads.

